

### III-224 岩盤の変形に関する乙～丙の性質

埼玉大学理工 正員 小野寺透  
 " " " ○吉中龍之進  
 大林組 吉田直

#### 1. はじめに

岩盤の静的変形特性の測定は通常現地における平板載荷試験方法により行なわれている。これより岩盤の変形係数、弾性係数を求めて設計に利用される。本文は平板載荷試験の荷重一変位曲線の塑性変形部分と各係数の性質について花崗岩、オホリ層、その他の地盤の試験資料を利用して検討したものである。

#### 2. 平板載荷試験の荷重一変位曲線

通常の試験では $1 \sim 10\text{kg/cm}^2$ 程度の載荷速度で最大荷重に達するまで数回のくり返し載荷が行なわれる。また任意の荷重に達したときに岩盤の粘性挙動を調べるために持続荷重試験が行なわれることがある。

その結果、図1のような荷重一変位曲線が求まる。荷重 $P_1$ に対する変位量は弾性的変位 $\delta_p$ と塑性(残留)変位 $\delta_p$ からなる。また持続荷重で生じた変位は $\delta_p$ である。塑性変位 $\delta_p$ には上述の載荷速度に対するクリープも一部含まれるが、ここでは非弾性変位を $\delta_p$ と定め区別して考える。 $\delta_p$ は主にキレツ(間隙)の押しつぶされたりによるものであり、したがってそれらのキレツが生じた自然の、あるいは掘削等の人為の岩盤劣化作用に由来するものと考えられる。

#### 3. 塑性変位と荷重強度

従来、岩盤の変形関係は弾性部分が重視され塑性部分の解析はあまり行なわれなかった。しかし変形の多くの部分を塑性変形が占めるケースも多く塑性変形は岩盤の重要な変形特性である。そこで種々の岩盤について塑性変形量と荷重強度の関係を調べた。資料は硬質堅岩の閃緑岩、種々に風化した花崗岩、オホリ層の砂岩・泥岩、洪積砂利層、関東ローム層、締固めた砂地盤である。

##### 塑性変位一荷重強度関係の数例

図2～図4に示した。図示の例はいずれも剛体円板載荷板による試験例で、図中の記号はH-Hが鉛直、水平の荷重方向(図4は全てH)である。各図から明らかなように $\delta_p$ は岩盤および地盤の非破壊領域で荷重との間に極めて線型の関係が存在する。

この関係は地盤の降伏点に至ると成立しないが、变形挙動が主として問題となる荷重範囲では明瞭に成立す。したがって $P - \delta_p$ の勾配

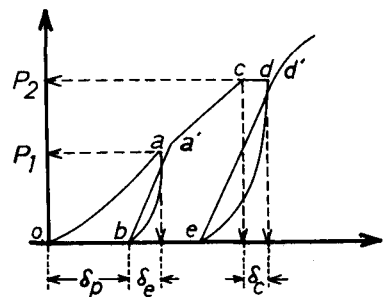


図1. 載荷板での荷重(P)変位(δ)曲線の模式図

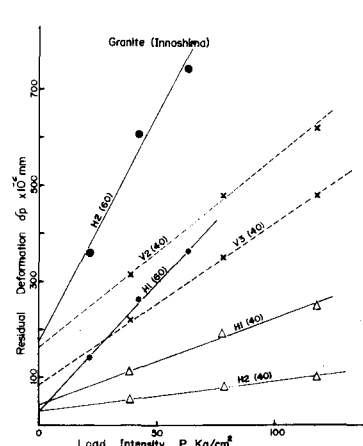


図2. 花崗岩における荷重と残留変位関係

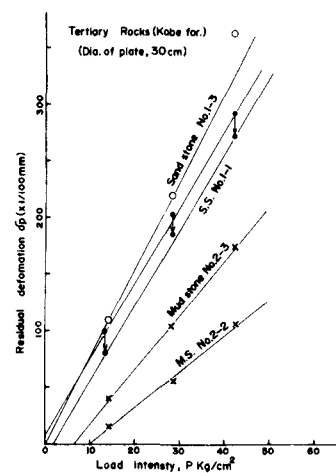


図3. 軟岩の荷重一残留変位の関係

は岩盤の特性と考えられる。一方、 $P - \delta p$ 関係の  $P = 0$  での  $\delta p$  はその岩盤での先行条件(ゆるみ、予備荷重による締固め)による効果を反映した数値と考えられる。

$P - \delta p$  関係から  $I \cdot B \cdot (P/\delta p)$  を求めるところの係数は変形係数と同等の取扱いができる。これを塑性変形係数  $C$  (Modulus of Compressibility) と呼ぶことにする。なお  $I$  は形状係数、  $B$  は直角である。

#### 4. 各係数と岩盤の間隙量インテクスの関係

岩盤の変形係数(図1の  $\overline{OAC}$ )、弾性係数(同図  $\overline{EAD}$ )および塑性変形係数と試験地

盤のキレツ量、構成岩又は土の間隙率との関係を調べた。

岩盤ではキレツ量( $RQD$ 、キレツ密度等)との密接な関係を予想したが、結果的には構成材料の間隙率との関係が最も密接であることが判明した。これは材料の性質と岩盤の巨視的性質に密接な関係があること、およびこれら各係数を説明するに足るキレツ特性の評価法が不充分であることによる。以上の関係を図5、図6に示した。

図7は、変形係数と塑性変形係数の関係で、岩盤の弾性度  $\alpha$  (岩盤の弾性係数と塑性変形係数との比)をパラメータで示したものである。これより地盤の弾性度は、岩、土=関係(ないこ)とみるとその幅は  $0.25 \sim 10$  であることが判る。この点が地盤の構造要素で説明されなければならぬ。今後の課題である。

#### 参考文献

- 吉田・吉中(1966)  
土研所報、10.129, P.1  
~53.
- 吉中(1967), 土研  
資料、10.299, P.1~52
- 本四連絡橋公团(1972)鬼島一坂出、  
尾道-今治ルート岩盤  
試験報告書

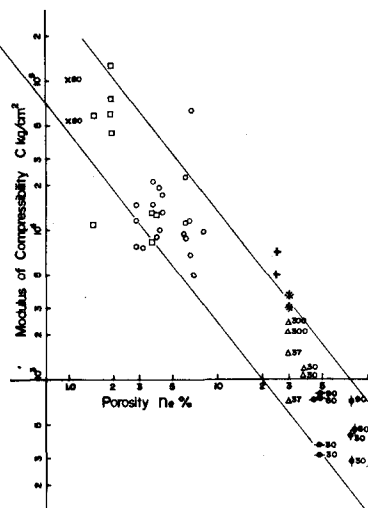


図6. 供試体の間隙率と塑性変形係数  $C$

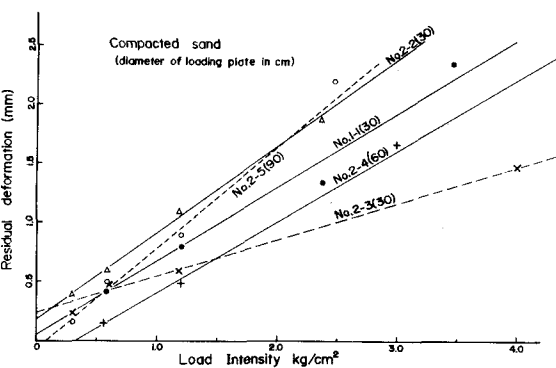


図4. 締固め砂での荷重と残留変位

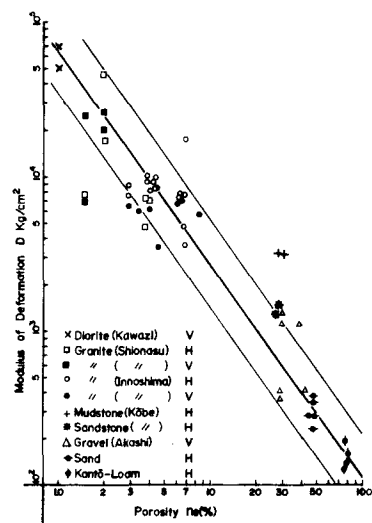


図5. 供試体の間隙率と変形係数  
(V:鉛直, H:水平載荷)

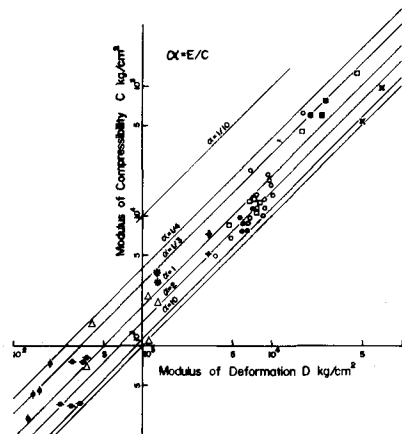


図7. 地盤の変形係数と塑性変形係数